

*** پهینه‌سازی پیش عملیات سطحی ذرات نیترید بُر هگزاگونال برای پوشش‌دهی الکترولیس نیکل - فسفر**
 (یادداشت پژوهشی)

امین حکیمی‌زاد^(۲)

مسعود مشرفی‌فر^(۱)

چکیده

ایجاد پوششی از نیکل بر روی سطح ذرات پودری نیترید بُر هگزاگونال می‌تواند مشکل عدم ترشوندگی آن‌ها در ساخت ماده‌ی مرکب را برطرف کند. در این پژوهش، با تغییر شرایط در مراحل آماده‌سازی یعنی اکسایش، حساس‌سازی و فعال‌سازی، تأثیر آن‌ها بر ایجاد رسوب نیکل بر روی سطح ذرات نیترید بُر بررسی شده است. مطالعات انجام شده با میکروسکوپ الکترونی مجهر به EDS و X-Ray map نشان دادند که انجام عملیات آماده‌سازی بر روی ذرات BN نقش بسیار مهمی در نشاندن لایه‌ی نیکل بر روی آن‌ها دارد. چرخه‌ی آماده‌سازی شامل اکسایش در دمای 200°C به مدت یک ساعت، حساس‌سازی در محلولی شامل $1\text{ g/Lit SnCl}_2 + 30\text{ ml/Lit HCl}$ و فعال‌سازی در یک محلول آبی شامل $0.25\text{ g/Lit PdCl}_2 + 30\text{ ml/Lit HCl}$ به مدت ۱۵ دقیقه و

فعال‌سازی در یک محلول آبی شامل 30 ml/Lit HCl به مدت ۰۰:۳۰ دقیقه است.

واژه‌های کلیدی: نیترید بُر هگزاگونال (BN_(h)), الکترولیس Ni-P, پیش عملیات.

Optimization of Preliminary Treatment on the Surface of Boron Nitride Particles for Ni-P Electroless Coating

M. Moshrefifar

A. HakimiZad

Abstract

Applying a Ni-P electroless coat on the surface of BN(h) particles has a beneficial effect on their wettability in vortex technique during composite manufacturing. In this investigation, different preliminary treatments consisting of different combinations of surface oxidation, sensitization and activation have been investigated. The results obtained from scanning electron microscope (SEM) and energy dispersive spectroscopy (EDS) showed that the preliminary treatment has an important role in deposition of Ni-P on the surface of BN(h) powder. A preliminary treatment consisting of oxidation in 200°C for 1 hour, sensitization in $10\text{ g/l SnCl}_2 + 30\text{ ml/l HCl}$ solution for 15 minutes and then, activation in $0.25\text{ g/l PdCl}_2 + 30\text{ ml/l HCl}$ solution resulted in the best results.

Key Words Hexagonal Boron Nitride (BN_(h)), Ni-P Electroless, Pre-Treatment.

* نسخه‌ی نخست مقاله در تاریخ ۹۰/۴/۲۰ و نسخه‌ی پایانی آن در تاریخ ۹۱/۲/۳۰ به دفتر نشریه رسیده است.

نویسنده‌ی مسئول: مریم، عضو هیأت علمی دانشکده‌ی مهندسی معدن و متالورژی، دانشگاه یزد

- دانشجوی کارشناسی ارشد، دانشگاه صنعتی اصفهان

استفاده شده است. با توجه به اینکه ذرات سرامیکی سطح فعال کاتالیزوری ندارند، فرایند الکترولیس بسته به نوع سطوح فلزی می‌تواند کاملاً متفاوت باشد. در این تحقیق، روش‌های مختلف آماده-سازی سطح بررسی شده‌اند.

مواد و روش تحقیق

در این تحقیق، از ذرات $\text{BN}_{(h)}$ به قطر متوسط ۱ μm متعلق به شرکت Zibo Shinezo از کشور چین استفاده شد. ابتدا سطح ذرات به منظور زدودن ناخالصی‌ها، با استون شسته و سپس تمیز و خشک شدن. در ادامه، از سه فرایند آماده‌سازی به شرح زیر برای بهبود شرایط رسوب‌دهی الکترولیس Ni-P استفاده شد:

روش اول) پودر $\text{BN}_{(h)}$ تمیز شده با محلول هیدروکلریک شامل ۱۰% HF و ۱۰% HCl به مدت زمان ۵ دقیقه حکاکی شد.

روش دوم) پودر حکاکی شده به روش اول، در محلول آبی شامل 10 g/Lit SnCl_2 و 30 ml/Lit HCl به مدت ۱۵ دقیقه حساس‌سازی شد و پس از شستشو با آب، فرایند فعال‌سازی در یک محلول آبی شامل 0.25 g/Lit PdCl_2 و 30 ml/Lit HCl انجام شد.

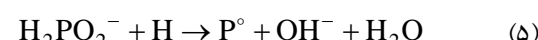
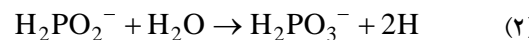
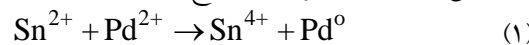
روش سوم) پودر $\text{BN}_{(h)}$ تمیز شده ابتدا در دمای 200°C به مدت یک ساعت در هوا اکسید شد، و پس از آن به وسیلهٔ محلول هیدروکلریک شامل ۱۰% HF و ۱۰% HCl به مدت زمان ۵ دقیقه حکاکی شد. در مرحلهٔ بعد، پودر در محلول آبی شامل 10 g/Lit SnCl_2 و 30 ml/Lit HCl به مدت ۱۵ دقیقه حساس‌سازی شد و پس از شستشو با آب، فرایند فعال‌سازی در یک محلول آبی شامل 0.25 g/Lit PdCl_2 و 30 ml/Lit HCl انجام شد.

پس از عملیات آماده‌سازی پودرهای از حمام الکترولیس Ni-P بر پایهٔ هیپوفسفیت سدیم (از نوع تجاری Scholter آلمان) برای پوشش‌دهی نیکل بر

مقدمه

خواص مناسب نیترید بور با ساختار هگزاگونال ($\text{BN}_{(h)}$) از قبیل ضریب دی‌کتریک پایین، هدایت حرارتی عالی، استحکام و پایداری حرارتی مطلوب، مقاومت به خوردگی و اکسایش بالا و ساختار بلوری لایه‌ای، در زمینه‌های مختلف در صنعت به کار می‌رود [1,2]. در ساختار بلوری $\text{BN}_{(h)}$ ، پیوند بین مولکول‌ها درون هر لایه از نوع کووالانت و بین لایه‌ها تماماً از نوع واندروالس می‌باشد [3-6]. این ماده با قابلیت برنش آسان، پایداری حرارتی و رنگ سفید، در سال‌های اخیر به عنوان ماده‌ی روان‌کار پاک جای‌گزین مناسی برای گرافیت و MoS_2 شده است [7-9]. دیگر کاربردهای $\text{BN}_{(h)}$ می‌توان به امکان استفاده از آن در مواد مركب زمینه فلزی به عنوان فاز ثانویه (با استفاده از خواص روان‌کاری آن) اشاره کرد [10,11]. از مشکلات کاربرد صنعتی $\text{BN}_{(h)}$ در تولید مواد مركب می‌توان به قابلیت ترشوندگی ضعیف آن توسط مذاب بسیاری از فلزات اشاره کرد. از بین روش‌های متعددی که امروزه برای رفع این مشکل به کار می‌رود، روش آب‌کاری الکترولیس نیکل بر روی سطح $\text{BN}_{(h)}$ است [12-14]. فرایند پوشش‌دهی الکترولیس روشی ساده، ارزان و کارآمد است، و امروزه برای پوشش‌دهی فلزی بر روی مواد غیرهادی، نیمه هادی‌ها و فلزات استفاده می‌شود. دلیل گستردنی استفاده از این روش، سازوکار تشکیل پوشش به وسیلهٔ احیای شیمیایی یا خودکاتالیزور یون‌های آبی بر روی سطح مورد نظر می‌باشد. این سازوکار مزیت‌هایی نظیر قابلیت کنترل ساده، تکرارپذیری فرایند، ایجاد لایه‌ی یکنواخت در تمامی سطوح و عدم وجود محدودیت در حجم سیستم دارد. بنابراین، از فرایند الکترولیس می‌توان به عنوان یک روش مؤثر برای اصلاح سطح بهره برد [15-19]. در این پژوهش، از فرایند الکترولیس برای ایجاد پوشش نیکل بر روی سطح ذرات سرامیکی

اتمی و آزاد بر روی سطح می‌شود.^۰ همانند Ni یک کاتالیزور قوی برای شروع واکنش پوشش‌دهی و جوانهزنی ذرات Ni-P^۰ بر روی سطح است.



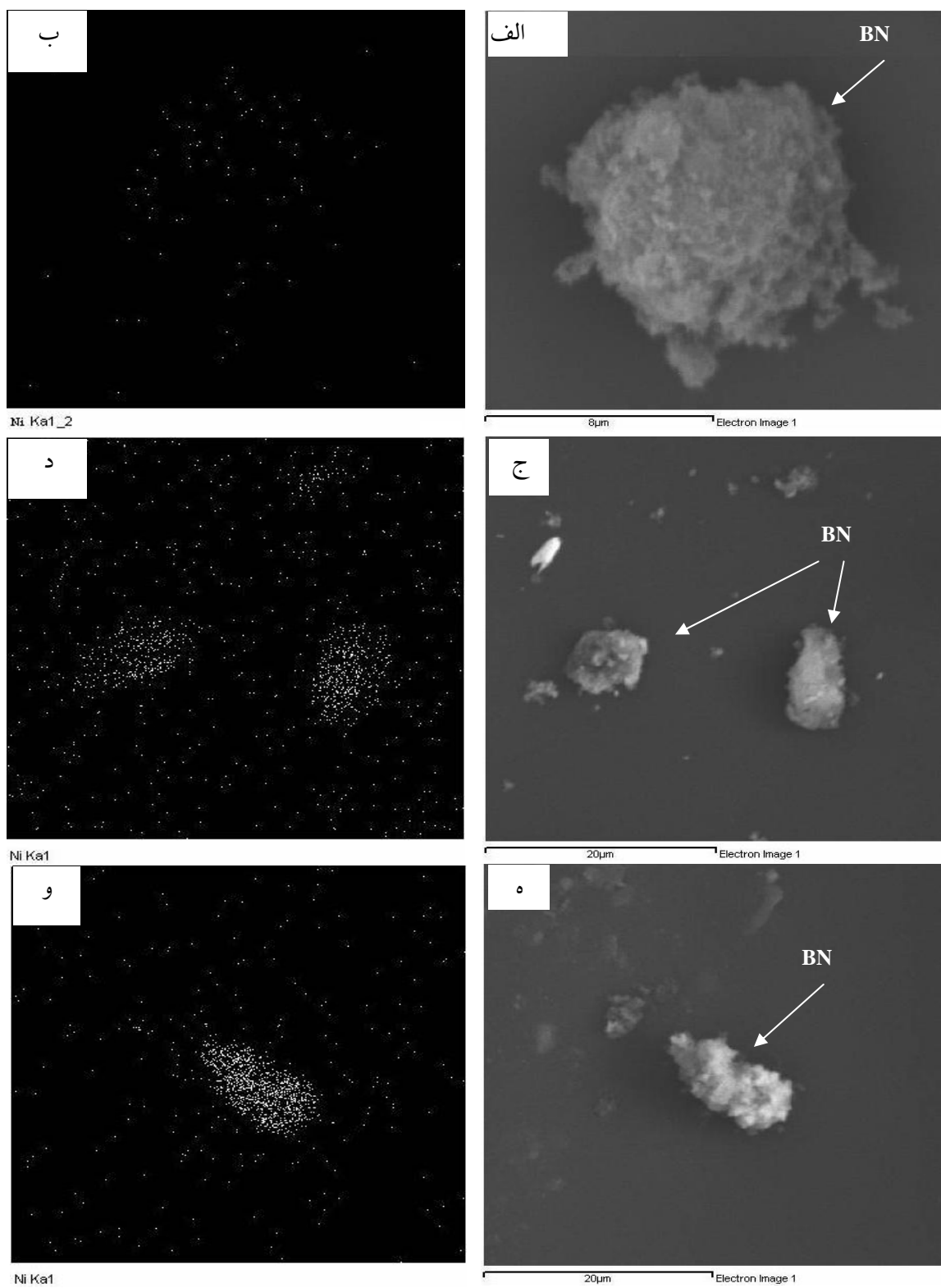
در حقیقت با کاهش pH یا افزایش غلظت H^+ واکنش (۳) مطابق با اصل لوشاتلیه به‌سمت چپ و واکنش (۵) به‌سمت راست میل می‌کند، و این به معنی کاهش میزان نیکل و افزایش میزان فسفر در پوشش و تبدیل پوشش از حالت بلوری به بی‌شکل است. باید توجه داشت که حضور Pd^0 و Ni در محلول می‌تواند منجر به جوانهزنی خودبه‌خودی در محلول و افزایش خاکه‌ی Ni-P fines شود (Ni-P fines). البته با شستشوی بیشتر با آب می‌توان این مشکل را برطرف کرد.

همان‌گونه که از مقایسه تصویرهای (۱-ت) و (۱-و) معلوم می‌شود، با انجام فرایند آماده‌سازی شماره‌ی ۳ (ابتدا اکسید کردن، سپس حکاکی و حساس‌سازی و در نهایت، فعال‌سازی) رسوب نیکل بیشتری بر سطح ذرات BN_(h) تشکیل شده است، که این نشان از کارآمدی بیشتر فرایند این روش آماده‌سازی است. به‌طور مشابه، شدیدتر بودن پیک BN_(h) مربوط به عنصر نیکل در طیف EDS از ذرات BN_(h) حاصل از فرایند آماده‌سازی شماره‌ی ۳ (شکل ۲-ج) نسبت به همان پیک در طیف EDS از ذرات BN_(h) حاصل از فرایند آماده‌سازی شماره‌ی ۲ (شکل ۲-ب)، بر مقدار بیشتر نیکل در سطح رسوبات آماده‌سازی شده توسط فریند شماره‌ی ۳ دلالت دارد.

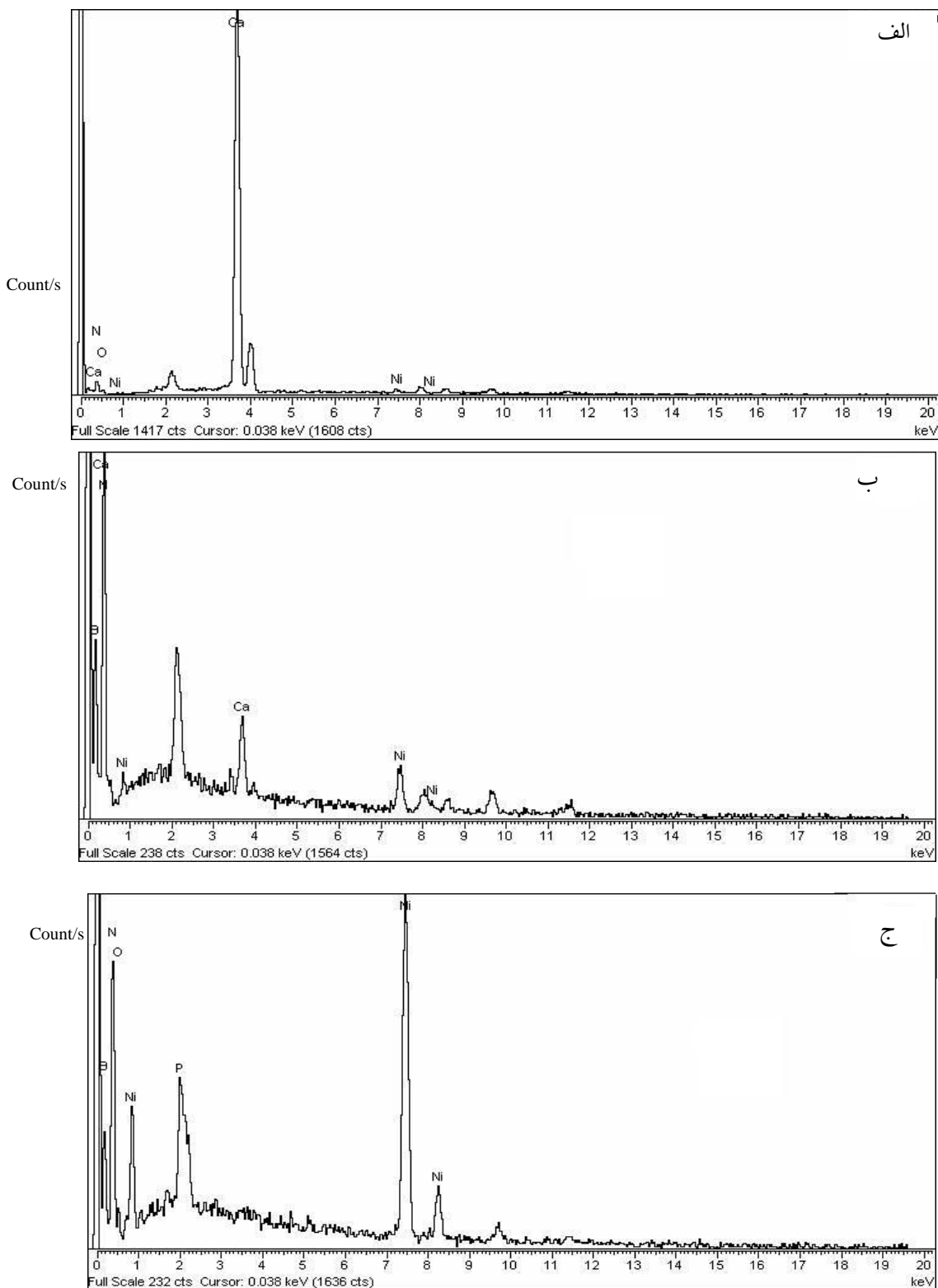
روی ذرات BN_(h) استفاده شد. غلظت ذرات پودر BN_(h) در محلول به میزان ۱ g/Lit انتخاب شد، و از یک همزن مغناطیسی با سرعت ۷۵۰ rpm به‌منظور نگهداری ذرات به‌شکل سوسپانسیون استفاده شد. پس از عملیات آب‌کاری و فیلتر کردن محلول سوسپانسیون و سپس شستشوی کامل آن با آب مقطر، مجموعه در خشک کن با دمای ۹۰ °C به‌مدت یک ساعت خشک شد. برای مطالعه سطح پودرهای از میکروسکپ الکترونی مجهز به تحلیل گر X-Ray map EDS استفاده شد.

نتایج و بحث

در شکل (۱)، تأثیر عملیات آماده‌سازی سطحی ذرات BN_(h) بر کیفیت پوشش سطحی ایجاد شده با فرایند الکتروولس نشان داده شده است. نتایج حاصل از بررسی ترکیب شیمیایی پوشش ایجاد شده در شرایط مختلف آماده‌سازی سطحی، در شکل (۲) ارائه شده‌اند. همان‌گونه که در تصویرهای مختلف شکل (۱) دیده می‌شود، با انجام آماده‌سازی شماره‌ی (۲) (ابتدا حکاکی، سپس حساس‌سازی و در نهایت، عملیات فعال‌سازی) ذرات فلزی نیکل تا حدودی بر روی سطح رسوبات تشکیل شده‌اند، و این با نتایج حاصل از EDS نمونه‌ها (۲-ب) در تطابق کامل است. بنابراین، می‌توان نتیجه گرفت که بدون عملیات آماده‌سازی و به‌دلیل عدم وجود هدایت الکتریکی، لایه‌ی نیکل بر روی سطوح پودر رسوب نمی‌کند. این در حالی است که انجام عملیات حساس‌سازی و فعال‌سازی تأثیر مهمی بر روی آب‌کاری الکتروولس نیکل دارد. واکنش‌های پوشش‌دهی به ترتیب زیر انجام می‌شوند. عملیات حساس‌سازی با Sn^{2+} , SnCl_2 را بر روی سطح می‌نشاند. نشستن Sn^{2+} بر روی سطح و واکنش آن با Pd^{2+} در محلول PdCl_2 در مرحله‌ی فعال‌سازی باعث تغییر ظرفیت Sn^{2+} به Sn^{4+} و آزاد شدن Pd به صورت



شکل ۱ تصویرهای SEM و نقشه‌ی X-Ray از ذرات $\text{BN}_{(h)}$ آب کاری الکتروس شده بعد از عملیات آماده سازی مختلف: الف و ب): پس از آماده سازی توسط فرایند شماره ۱، پ و ت): پس از آماده سازی با فرایند شماره ۲.. ه و): پس از آماده سازی با فرایند شماره ۳



شکل ۲ طیف EDS از ذرات $\text{BN}_{(h)}$ آب کاری الکتروس شده پس از عملیات مختلف آماده سازی، (الف) پس از آماده سازی با فرایند شماره ۱، (ب) پس از آماده سازی با فرایند شماره ۲، (ج) پس از آماده سازی با فرایند شماره ۳

لوله های کربنی، [22]، و گرافیت، [23]، نشان دهنده ای ترشوندگی بهتر این رسوبات سرامیکی به وسیله ای مذاب فلزات در فرایند تولید ماده ای مرکب می باشد. لازم به ذکر است که نتایج تحقیق پیرامون تأثیر رسوب فلزی ایجاد شده بر روی سطح ذرات $BN_{(h)}$ در ترشوندگی و توزیع یکنواخت آنها در مذاب فلز آلومینیم، در مقاله ای دیگر ارائه شده اند.

نتیجه گیری

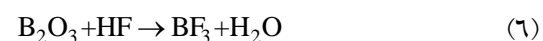
در این تحقیق، آماده سازی سطحی ذرات $BN_{(h)}$ با فرایند الکتروولس، و کیفیت سطحی پوشش ایجاد شده پس از عملیات مختلف آماده سازی سطحی ارزیابی شد. مهم ترین نتیجه گیری های حاصل از این پژوهش را می توان به شرح زیر خلاصه کرد:

- ۱- ایجاد رسوب فلزی نیکل بر روی ذرات $BN_{(h)}$ بدون انجام عملیات سطحی ناکارآمد است.
- ۲- حضور اجزای Pb و Sn آزاد بر روی سطح حاصل از فرایند آماده سازی، تأثیر زیادی در بهبود رسوب دهی سطحی ذرات $BN_{(h)}$ دارد.

۳- حضور اجزای دارای بُر، به دلیل تسريع سیستمیک واکنش احیای قلع، موجب ایجاد لایه سطحی غنی تر از نیکل بر روی سطح ذرات $BN_{(h)}$ می شود.

۴- سیکل عملیات آماده سازی بهینه شامل اکسایش در دمای $200^{\circ}C$ به مدت یک ساعت، عملیات حساس سازی در محلولی شامل $SnCl_2$ ۱۰ g/Lit و HCl ۳۰ ml/Lit به مدت ۱۵ دقیقه، شستشو، و عملیات فعال سازی در محلول آبی شامل $PdCl_2$ ۰/۲۵ g/Lit و HCl ۳۰ ml/Lit بوده است.

کارآمدتر بودن فرایند آماده سازی ۳ نسبت به فرایندهای دیگر را می توان به حضور اکسید بور در مرحله ای اکسایش آن نسبت داد. به عبارت کامل تر، حین مرحله ای اکسایش، B_2O_3 در بعضی از نقاط بر روی سطح ذرات $BN_{(h)}$ شکل می گیرد که می تواند با HF موجود در محلول هیدروفیلیک به شکل زیر واکنش دهد:



BF_3 تولید شده که بر روی سطح ذرات BN قرار گرفته است، به سرعت جذب شده و احیای یون های قلع بر روی سطح ذرات حین مرحله حساس سازی را تسريع کرده و مراکز جوانه زنی پالادیم آزاد بر روی سطح نیترید بور هگزاگونال را به طور قابل ملاحظه ای افزایش می دهد. افزون بر این، یون های قلع می توانند به تنهایی با یون های نیکل موجود در محلول مطابق با واکنش زیر ترکیب شده و باعث توزیع ذرات نیکل بر روی سطح ذرات BN شوند. این ذرات نقش جوانه زن را برای رسوبات بعدی در فرایند آب کاری نیکل بازی می کنند.



لازم به ذکر است که پوشش دهی الکتروولس نیکل - فسفر یک واکنش خودکاتالیزور اکسایش - احیا است که می تواند با واکنش (8) بیان شود:



مشاهدات ظاهری نمونه ها نشان دادند که افزایش میزان نیکل بر روی سطح ذرات $BN_{(h)}$ باعث تیره تر شدن ذرات حاصل می شود. حرارت دهی قبل از حکاکی می تواند گازهای جذب شده بر روی سطح ذرات را حذف کرده و با ایجاد یک سطح فعال تمیز، به ایجاد پوششی مناسب کمک کند. بررسی های انجام شده توسط محققان دیگر در مورد ایجاد رسوب فلزی بر روی ذرات SiC [21]، Al_2O_3 [13,20]، نسانو

مراجع

1. R. T. Paine, C. K. Narula, " Synthetic routes to boron nitride", *Chemical Reviews* , Vol.90, pp. 73 – 91, (1990).
2. A. Nechepurenko, S. Samuni, "Oxidation Protection of Graphite by BN Coatings", *Journal of Solid State Chemistry*, Vol. 154, Issue 1, pp. 162-164, (2000).
3. R.F. Deacon, J.F. Goodman, "Lubrication by lamellar solids", *Proceedings of the Royal Society London A*, Vol. 23, pp.464–482, (1958).
4. G.W. Rowe, "Some observation on the frictional behaviour of boron nitride and of graphite", *Wear*, Vol.3, pp.274–285, (1960).
5. E.R. Braithwaite, "Solid Lubricants and Surfaces", Pergamon, pp. 199–201, (1964).
6. A.J. Haltner, "Sliding behavior of some layer lattice compounds in ultrahigh vacuum", *ASLE Transaction*, Vol. 9, pp.136–148, (1966).
7. A.R. Globus, "A new high-temperature lubricant for hot rolling", *Iron and Steel Engineer*, pp.93–94, (1970).
8. Y. Goto, S. Wakasugi, T. Kozai, "Test for investigating the lubrication properties of solid lubricants in cold metal forming", *Journal of Mechanical Working Technology*, Vol. 6, pp.51–62, (1982).
9. Y.J. Hwu, C. T. Hsu, F. Wang, "Measurement of friction and the flow stress of steels at room and elevated temperatures by ring-compression tests", *Journal of Materials Processing Technology*, Vol. 37, pp.319–335, (1996).
10. K.B. Lee, H.S. Sim, S.W. Heo, H.R. Yoo, S.Y. Cho, H. Kwon, "Tensile properties and microstructures of Al composite reinforced with BN particles", *Composite:part A*, Vol.33, pp.709–715, (2002).
11. Hahn. C, "New boron nitride hard coatings open up attractive prospects in non-ferrous metallurgy", *Giesserei*, pp.9, (2003).
12. M.L. Ted Guo, Chi.-Y.A. Tsao, "Tribological behavior of aluminum/SiC/Nickel-coated graphite hybride composites", *materials science and engineering*, Vol.A333, pp.134-145, (2002).
13. F. Kretza, Z. Gaćsia, J. Kovaćsb, T. Pieczonkac, "The electroless deposition of nickel on SiC particles for aluminum matrix composites", *Surface and Coatings Technology*, Vol.180 –181, pp.575–579, (2004).
14. S.W. Ip, R. Sridhar, J.M. Toguri, T.F. Stephenson, A.E.M. Warner, "Wettability of nickel coated graphite by aluminum", *Materials Science and Engineering*, Vol.A244, pp.31–38, (1998).
15. L.M. Abrantes, J.P. Correia, "On the mechanism of electroless Ni-P plating", *Journal of the Electrochemical Society*, Vol. 141, pp.2356-2360, (1994)

16. H. Ashassi-Sorkhabi, S.H. Rafizadeh, " Effect of coating time and heat treatment on structures and corrosion characteristics of electroless Ni-P alloy deposits", *Surface Coating and Technology*, Vol.176, pp.318–326, (2004).
17. G.O. Mallory, J.B. Hadju, "Electroless Plating: Fundamentals and Applications", AESF, Orlando, (1991).
18. D.T. Gawne, U. Ma, "Friction and wear of chromium and nickel coatings", *Wear*, Vol.129, pp.123-142, (1989).
19. L.-G. Yu, X.-S. Zhang, " Study of the friction and wear behaviour of electroless Ni-P coating", *Thin Solid Films*, Vol.229, pp.76–82, (1993).
20. Y. Chen, M. Cao, Q. Xu, J. Zhu, " Electroless nickel plating on silicon carbide nanoparticles", *Surface. Coating and Technology*, Vol.172, 90–94, (2003).
21. Y.-J. Lin, B.-F. Jiang, " Sintering and phase evolution of electroless-nickel-coated alumina powder", *Journal of the American Ceramic Society*, Vol.81, pp.2481-2484, (1998).
22. F.Z. Kong, X.B. Zhang,W.Q. Xiong, F.Liu, W.Z. Huang, Y.L. Sun, J.P. Tu, x.w. Chen, " Continuous Ni-layer on multiwall carbon nanotubes by an electroless plating method", *Surface Coating and Technology*, Vol.155, pp.33-36, (2002).
23. Qu. Zhan-Min, "Study on the process of electroless nickel plating for graphite powder", *Electroplating and finishing*, Vol.24, pp.21-23, (2005).